

## О структурной зависимости параметров диаграмм деформирования и трещиностойкости метастабильных аустенитных сталей

С. Б. Нижник, Е. А. Дмитриева

Институт механики им. С. П. Тимошенко НАН Украины, Киев, Украина

*Обобщены результаты исследования влияния структуры на закономерности изменения напряжений течения и трещиностойкости ряда аустенитных сталей при температурах подавления и развития мартенситного превращения с учетом их химсостава и способа нагружения. Установлены корреляционные связи структурных характеристик сталей рассматриваемого класса с параметрами аналитических выражений их диаграмм деформирования, определяющие условия конкурирующего влияния прочности аустенита, интенсивности процесса образования мартенсита деформации, его количества и прочности на деформационное упрочнение материала. Структурно обоснована специфика формирования показателей его трещиностойкости.*

**Ключевые слова:** аустенитные стали, химсостав, температура испытания, линейное и плоское напряженное состояние, структура, диаграммы деформирования, трещиностойкость.

**Введение.** В развитие исследований диаграмм деформирования деформационно стабильных металлических материалов [1] данная работа посвящена анализу закономерностей их трансформации при изменении структурного состояния материала от деформационно стабильного к метастабильному с фазовым превращением при определенных термомеханических условиях нагружения. На примере широко используемых в промышленности метастабильных аустенитных сталей ранее [2–4] было показано, что при аналитическом описании их диаграмм деформирования следует учитывать одновременное развитие процессов, связанных с изменением количественного соотношения и прочностных характеристик исходной (высокопластичного аустенита) и формирующейся (мартенсита деформации) упрочняющей фазы. Однако структурные эффекты влияния аустенита на интенсивность образования и прочностные свойства мартенсита в зависимости от химсостава и температурно-силовых условий деформирования этих сталей изучены недостаточно, что не позволяет прогнозировать характер деформационного упрочнения и закономерности изменения их прочности и пластичности.

Актуальность такого исследования усиливается применительно к задаче одновременного повышения характеристик прочности и трещиностойкости таких материалов. Развиваемый в последнее время структурно-механический подход к определению трещиностойкости металлических материалов в широком диапазоне изменения их прочностных свойств по данным при одноосном растяжении образцов без трещин базируется на установленных корреляционных связях характеристик пластичности материала с размерным параметром концевой зоны трещины у ее вершины [5]. С учетом этого можно допустить, что конкретизация и реализация структурных условий повышения деформативной способности рассматриваемых сталей является предпосылкой одно-

временного повышения их трещиностойкости. Особенности структурного механизма формирования пластической зоны у вершины трещины, обусловленные деформационным наклепом и деструкцией материала, могут изменить термические условия проявления структурной нестабильности механически бездефектных материалов, а также роль структуры и характера распределения аустенитной и мартенситной фаз у вершины трещины в формировании показателей трещиностойкости исследуемых сталей, что требует дальнейшего изучения.

В данной работе обобщаются результаты исследования параметров деформационного упрочнения и трещиностойкости стабильных и метастабильных сталей аустенитного и переходного классов в зависимости от температуры испытания, характера легирования, предварительных термомеханических воздействий и способа нагружения с учетом структурных эффектов взаимовлияния процессов пластического течения аустенита и развития мартенситного превращения, а также специфики их изменения в пластической зоне у вершины трещины.

**1. Материал и методики эксперимента.** Исследования проводили на сталях аустенитного (X18H8, X18H9, 2Х18Н9, 12Х18Н10Т) и переходного (Х16Н6) классов. Направленный характер их легирования оценивали по обобщенной характеристике химического состава – никелевому эквиваленту  $Ni_{экв}, \% = \%Ni + 0,65\%Cr + 0,98\%Mo + 1,05\%Mn + 0,35\%Si + 12,6\%C$  [6] как количественной мере обогащения сталей аустенитообразующими легирующими элементами, определяющими интенсивность образования мартенсита деформации и мартенсита охлаждения в соответствии с температурой мартенситных точек  $M_d$  и  $M_n$ . Первая из них соответствует температуре испытания, при превышении которой подавляется процесс образования мартенсита деформации, и материал трансформируется из метастабильного в деформационно стабильный, вторая – температуре охлаждающей среды (при закалке), ниже которой начинает формироваться мартенсит охлаждения, и материал с исходно однофазной аустенитной структурой превращается в материал переходного класса с аустенитно-martенситной структурой.

В табл. 1 представлены данные о никелевом эквиваленте  $Ni_{экв}$  и температурах мартенситных точек  $M_d$  и  $M_n$  рассматриваемых сталей.

Выбор температуры нормализации вышеуказанных сталей, повышающейся в пределах 1000...1080°C по мере роста  $Ni_{экв}$ , обеспечивал при комнатной температуре средний размер аустенитного зерна  $d_0 = 20...30$  мкм.

*Механические испытания* исследуемых сталей проводили в интервале температур  $T$ , соответствующих подавлению ( $T \geq M_d$ ) и развитию ( $T = M_d ... M_n$ ) процесса образования мартенсита деформации. При этом  $T$  изменяли в пределах 150...(-160)°C для случая статического нагружения образцов без трещин. Испытания в условиях статического и малоциклового нагружения образцов с трещиной нормального отрыва проводили при  $T = 20^{\circ}C$  и  $T = 20$  и  $300^{\circ}C$  соответственно.

Статическое деформирование включало одноосное сжатие и растяжение цилиндрических, плоских и тонкостенных трубчатых образцов и двухосное растяжение тонкостенных трубчатых образцов в условиях пропорционального нагружения осевой силой и внутренним давлением при соотношении

главных напряжений  $\sigma_z/\sigma_\theta = 0; 0,5; 1$  и  $\infty$ . Значения  $\sigma_z/\sigma_\theta = 0$  и  $\infty$  соответствовали линейному, а 0,5 и 1 – плоскому напряженному состоянию. Испытания трубчатых образцов при  $T = -160^\circ\text{C}$  выполняли на машине СНТ-5П [2], остальных – на машине ЦДМУ-30Т, оснащенной специальными приставками [7, 8]. Построение диаграмм деформирования, оценку прочностных и пластических характеристик материала проводили по методикам работ [2, 7].

Таблица 1

**Численные значения  $\text{Ni}_{\text{ЭКВ}}$  и температур мартенситных точек  $M_{\text{д}}$  и  $M_{\text{н}}$  исследуемых сталей**

Стали	$\text{Ni}_{\text{ЭКВ}}, \%$	$M_{\text{д}}, ^\circ\text{C}$	$M_{\text{н}}, ^\circ\text{C}$
X16H6	19,2	100	60
X18H8	20,5	90	-120
X18H9	21,5	90	< -196
2X18H9	24,2	70	< -196
12X18H10T	24,8	30	< -196

Испытания при малоцикловом нагружении тела с трещиной осуществляли на компактных и плоских образцах с боковым надрезом при постоянном значении максимальных номинальных напряжений цикла  $\sigma_n = 0,8...0,9\sigma_t$  ( $\sigma_t = \sigma_{0,2}$  – условный предел текучести материала) и частоте циклов  $f = 0,5$  Гц. Оценивали общую долговечность – число циклов нагружения до разрушения  $N_1$ , число циклов нагружения до разрушения от момента зарождения макротрешины  $N_2$ , номинальное разрушающее напряжение  $S_k$  и критическую длину трещины  $l_c$  [5, 8].

*Комплексное изучение структуры и фазового состава исследуемых сталей* проводили методами оптической и электронной микроскопии на микроскопах МИМ-8 и УЭМВ-100К, рентгеноструктурного и текстурного анализа на установках ДРОН-2,0 и УРС-55 в  $\text{FeK}_\alpha$ -излучении.

Микроструктурные исследования заключались в определении размера зерен аустенита и реек мартенсита деформации, изучении их морфологии и дислокационной структуры. Рентгеноструктурный анализ включал определение количественного соотношения аустенитной и мартенситной фаз, их тонкой кристаллической структуры, размера аустенитных кристаллитов, количественный анализ кристаллографической текстуры [1, 2, 5, 9, 10]. Микротвердость  $H_\mu$  измеряли на приборе ПМТ-3 при нагрузке 0,5 и 1 Н. Для раздельного определения микротвердости аустенита ( $H_\mu)_A$  и мартенсита ( $H_\mu)_M$  мартенсит деформации выявляли на металлографических шлифах методом магнитной металлографии [11].

При исследовании структурных параметров и фазового состава пластической зоны и градиента их изменения в окрестности вершины усталостной трещины проводили послойный (методом электрополировки) и прицельный (с коллиматором рентгеновской камеры в виде иглы медицинского шприца) рентгеноструктурный анализ. Электронно-микроскопическое изучение дисло-

кационной структуры пластической зоны осуществляли на фольгах, вырезанных из компактных образцов перпендикулярно направлению движения трещины [5].

**2. Результаты исследования и их обсуждение.** Проанализированы аналитические выражения диаграмм деформирования сталей аустенитного и переходного классов в термических условиях подавления и развития мартенситного превращения при последовательном усложнении структурных эффектов взаимовлияния аустенита и мартенсита на их количественное соотношение и прочностные характеристики. Обсуждены особенности структурных изменений в пластической зоне у вершины трещины при статическом и малоциклическом нагружении в связи с характеристиками трещиностойкости материала.

**2.1. Диаграммы деформирования и структура исследуемых сталей в зависимости от температуры испытания, характера легирования и термомеханических условий нагружения.** В работах [1, 12] показано, что наиболее распространенными эмпирическими уравнениями, связывающими истинные напряжения  $\sigma$  и истинные деформации  $\varepsilon$  деформационно стабильных материалов, являются уравнения Холломона и Людвика типа

$$\sigma(\varepsilon) = K\varepsilon^N \quad (1)$$

и

$$\sigma(\varepsilon) = \sigma_t + K\varepsilon^N, \quad (2)$$

справедливые преимущественно для описания процессов одноосного сжатия и растяжения соответственно, где  $\sigma_t$  – предел текучести;  $K$  и  $N$  – коэффициент и показатель деформационного упрочнения.

При построении аналитических выражений диаграмм деформирования рассматриваемых сталей с метастабильной структурой аустенита в работах [2, 13] последовательно анализировали механическое поведение их однофазных деформационно стабильных структурных состояний при температурах  $T > M_d$  и метастабильных – в диапазоне  $T = M_d \dots M_h$ . Для последних напряжения течения  $\sigma(\varepsilon)$ , отражающие взаимосвязь процессов пластического течения аустенита и мартенситного превращения, могут быть описаны выражением

$$\sigma(\varepsilon) = \sigma_A(\varepsilon) + \sigma_M(\varepsilon), \quad (3)$$

слагаемые которого  $\sigma_A(\varepsilon)$  и  $\sigma_M(\varepsilon)$  характеризуют соответственно сопротивляемость стали пластическому деформированию вследствие деформационного упрочнения аустенита и образования мартенсита деформации с учетом их прочностных свойств и изменяющегося при мартенситном превращении количества. По аналогии с (1) и (2) первое слагаемое выражения (3)

$$\sigma_A(\varepsilon) = K\varepsilon^N [1 - f_M(\varepsilon)] \quad (4)$$

и

$$\sigma_A(\varepsilon) = \sigma_t + K\varepsilon^N [1 - f_M(\varepsilon)] \quad (5)$$

соответствует деформированию материала в условиях одноосного сжатия и растяжения, второе слагаемое –

$$\sigma_M(\varepsilon) = C[f_M(\varepsilon)]^Q, \quad (6)$$

где  $f_M(\varepsilon)$  – количество мартенсита деформации;  $C$  и  $Q$  – коэффициент и показатель его упрочняющего влияния на сталь.

Экспериментальные кривые  $f_M(\varepsilon)$ , характеризующие кинетику развития мартенситного превращения при пластической деформации, аппроксимировали одной из известных [14] функций

$$f_M(\varepsilon) = 1 - \exp(-m\varepsilon^z), \quad (7)$$

$m$  и  $z$  – параметры, отражающие интенсивность процесса образования мартенсита деформации.

С учетом соотношений (5)–(7) аналитическое выражение диаграмм деформирования (3) при одноосном растяжении рассматриваемых метастабильных аустенитных сталей преобразуется к виду

$$\sigma(\varepsilon) = \sigma_t + K\varepsilon^N [\exp(-m\varepsilon^z)] + C[1 - \exp(-m\varepsilon^z)]^Q. \quad (8)$$

Здесь и далее параметры выражений (1)–(8) вычисляли методами математической статистики [13].

Последовательно рассмотрим влияние температуры испытания  $T$  при  $T \leq M_d$ ,  $Ni_{ekb}$  (табл. 1) и термомеханических условий предварительного и повторного нагружения на закономерности деформационного упрочнения и структуру материала с определением структурных зависимостей параметров диаграмм деформирования.

2.1.1. *Понижение температуры испытания в диапазоне  $M_d \dots M_h$*  при одноосном растяжении стали X18H8 влияет на изменение формы диаграмм деформирования  $\sigma(\varepsilon)$  в направлении повышения уровня напряжений течения и степень отклонения зависимости  $\lg(\sigma - \sigma_t) - \lg \varepsilon$  от прямолинейной по мере активизации процесса образования мартенсита деформации (рис. 1 [15]).

Далее в разд. 2.1.2–2.1.4 кривые, представленные на рис. 2 (2,*a* – разд. 2.1.2; 2,*b* – разд. 2.1.3; 2,*c* – разд. 2.1.4), обозначены штриховыми и сплошными линиями для рассматриваемых сталей соответственно с деформационно стабильной и метастабильной структурой аустенита.

2.1.2. *Влияние характера легирования на диаграммы деформирования и структуру рассматриваемых сталей X16H6, X18H9 и 12X18H10T* при соответствующем изменении  $Ni_{ekb}$  в диапазоне 19,2...24,8% (табл. 1) исследуется в условиях одноосного сжатия при  $T = 150$  ( $T > M_d$ ) и  $20^\circ\text{C}$  ( $T < M_d$ ) – рис. 2,*a*.

Для случая деформационно стабильного аустенита с ростом  $Ni_{ekb}$  (переход от стали X16H6 к стали 12X18H10T) уровень изменения напряжений течения исследуемых сталей  $\sigma(\varepsilon)$  повышается в соответствии с увеличением уровня изменения физического уширения рентгеновских интерференций аустенита.

нита при пластическом деформировании  $\beta_A(\varepsilon)$  – меры плотности структурных дефектов. Повышение  $\beta_A(\varepsilon)$  обусловлено активизацией твердорастворного упрочнения аустенита по мере увеличения  $Ni_{\text{ЭКВ}}$  в результате закономерного обогащения его карбидообразующими легирующими элементами [12]. При этом диаграммы деформирования в интервале значений  $\varepsilon = 0,02 \dots 0,4$  удовлетворительно описываются выражением (1), численные значения параметра  $K$  этого выражения увеличиваются с ростом  $Ni_{\text{ЭКВ}}$  (на рис. 3,а штриховая линия) при незначительном уменьшении показателя деформационного упрочнения  $N$  (от 0,60 до 0,54).

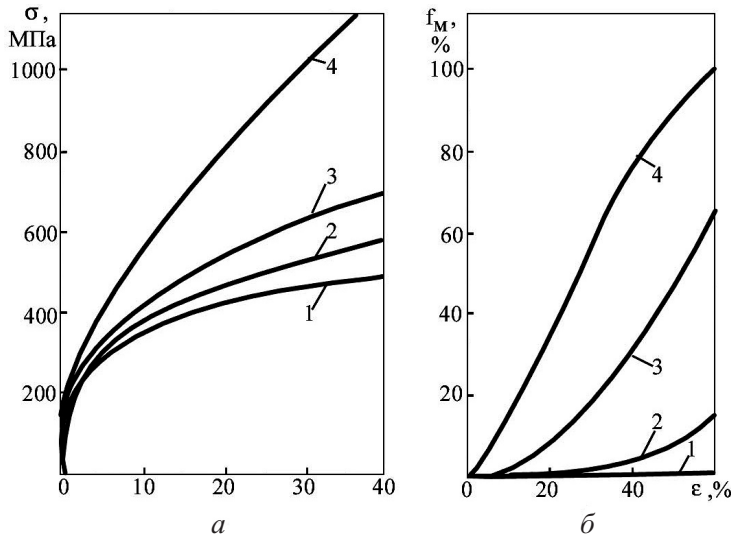


Рис. 1. Кривые изменения напряжений течения и количества мартенсита деформации стали X18H8 при  $T = 90$  (1), 50 (2), 25 (3) и  $0^{\circ}\text{C}$  (4).

Как видно из рис. 2,а, изменение структурного механизма пластического деформирования от повышения плотности структурных дефектов в аустените к преимущественному развитию мартенситного превращения при переходе от деформационно стабильного к метастабильному состоянию исследуемых сталей приводит к изменению характера их деформационного упрочнения. С ростом  $Ni_{\text{ЭКВ}}$  уровень изменения напряжений течения  $\sigma(\varepsilon)$  понижается, и взаимоположение диаграмм деформирования изменяется по сравнению с аналогичными зависимостями  $\sigma(\varepsilon)$  для деформационно стабильного аустенита. Это объясняется тем, что с ростом  $Ni_{\text{ЭКВ}}$  ослабляется темп развития мартенситного превращения вследствие усиления тормозящего влияния аустенита на этот процесс, что обуславливает уменьшение температуры мартенситных точек  $M_d$  и  $M_h$  (табл. 1) и параметра  $m$  (7) – на рис. 3,а сплошная линия.

Отмеченное конкурирующее влияние параметров  $K$  и  $m$  (1), (4), (7) на деформационное упрочнение сталей исследуемых классов в стабильном и метастабильном состоянии определяет характер изменения взаимоположения их диаграмм деформирования при понижении температуры испытания от  $T \geq M_d$  до  $T < M_d$ .

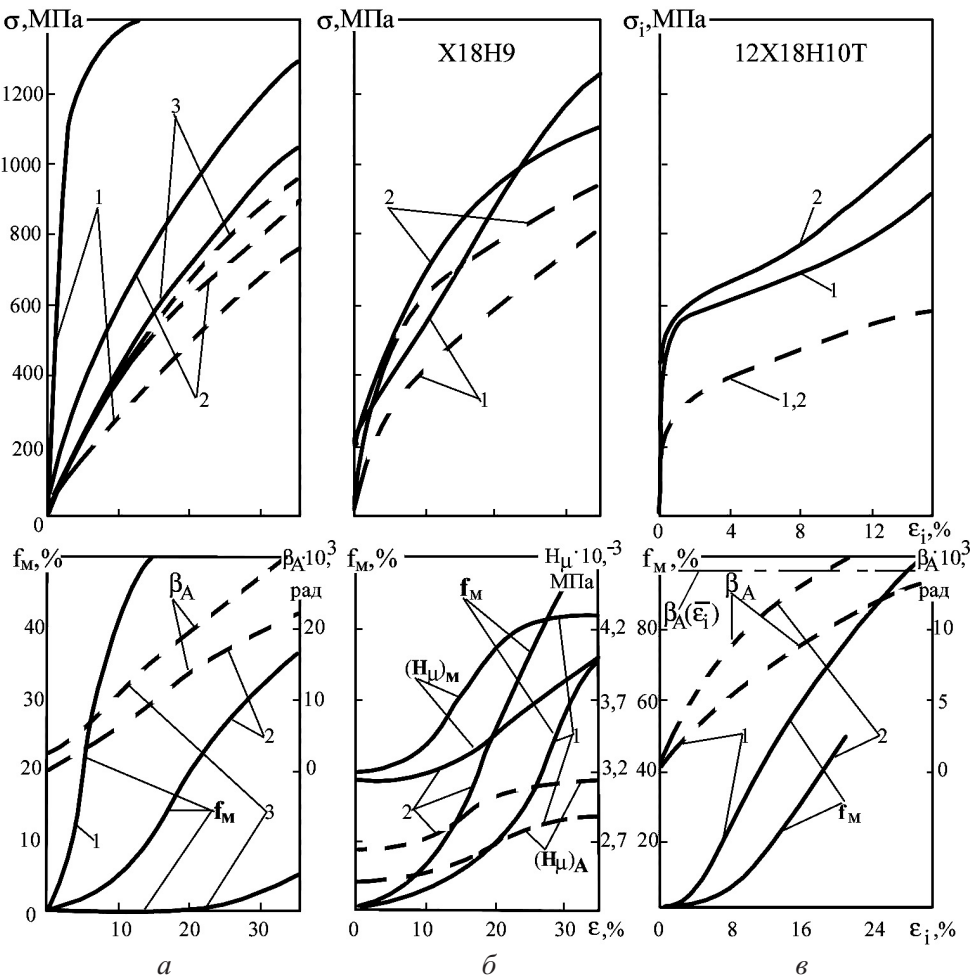


Рис. 2. Диаграммы деформирования и структурные характеристики аустенитных сталей в условиях одноосного сжатия (*a*, *b*) и одно- и равноосного растяжения (*c*) при температурах подавления и развития мартенситного превращения в зависимости от характера легирования (*a*), пластической деформации  $\varepsilon^1$ , предшествующей высокотемпературному старению (*b*), и соотношения главных напряжений  $\sigma_z/\sigma_\theta$  (*c*): *a*: 1, 2, 3 – стали X16H6, X18H9, 12X18H10T соответственно; *b*: 1 –  $\varepsilon^1 = 0$ ; 2 –  $\varepsilon^1 = 15\%$ ; *c*: 1 –  $\sigma_z/\sigma_\theta = \infty$ ; 2 –  $\sigma_z/\sigma_\theta = 1$ .

2.1.3. Влияние предварительных деформационно-термических воздействий на диаграммы деформирования аустенитных сталей исследуется на примере стали X18H9 при одноосном сжатии. Рассматривается влияние сочетания процессов предварительной пластической деформации  $\varepsilon^1$ , изменяющейся в пределах 0...15%, и высокотемпературного старения (при  $800^\circ\text{C}, 10$  ч) на сопротивляемость пластическому деформированию при температурах  $150$  ( $T > M_d$ ) и  $20^\circ\text{C}$  ( $T < M_d$ ). Из рис. 2,*b* видно, что для данной стали в стабильном и метастабильном состоянии это влияние разное.

В первом случае с увеличением  $\varepsilon^1$  от 0 до 15% повышается сопротивляемость стали пластическому деформированию  $\sigma(\varepsilon)$  во всем диапазоне значений  $\varepsilon$ , во втором – несмотря на рост кривых  $f_M - \varepsilon$ , повышение уровня

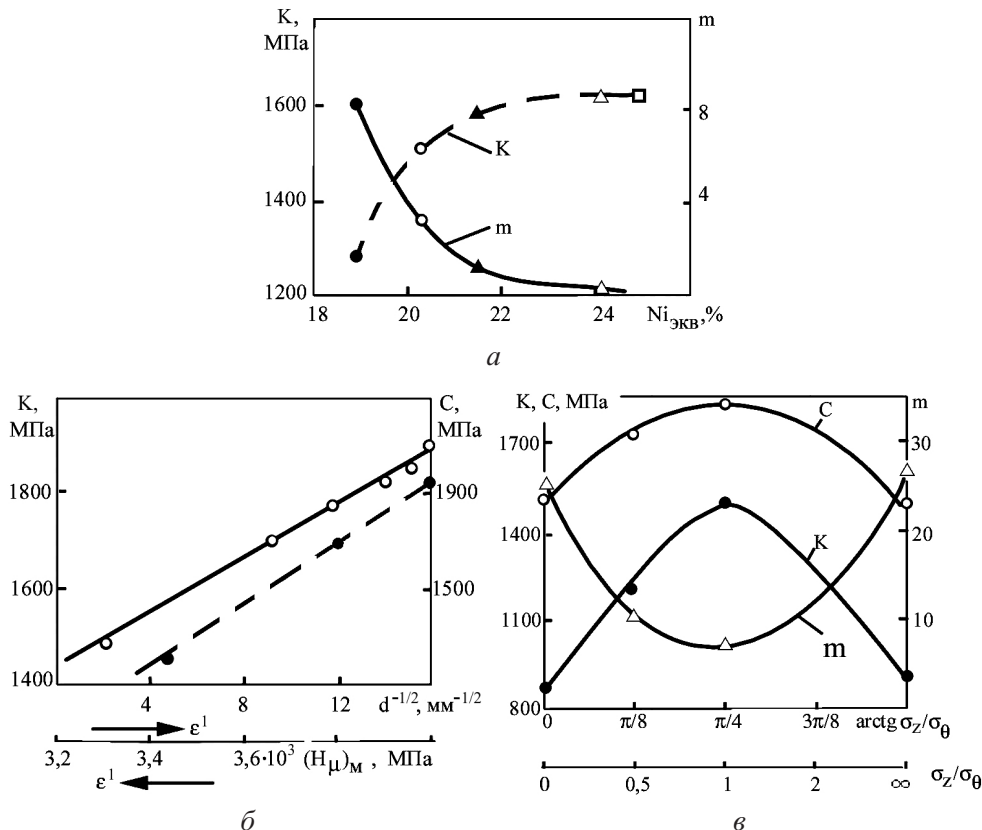


Рис. 3. Зависимость параметров выражений (1), (6), (7) – а, б и (8) – в рассматриваемых сталей от величины Ni<sub>ЭКВ</sub> (а), структурных характеристик аустенита и мартенсита (б) и вида напряженного состояния (в) (а: ● – X16H6, ○ – X18H8, ▲ – X18H9, △ – 2X18H9, □ – 12X18H10T; б – X18H9, ● – K, ○ – C; в – 12X18H10T.)

кривых  $\sigma - \varepsilon$  существенно замедляется, при  $\varepsilon > 20\%$  материал разупрочняется.

Объяснить наблюдаемые эффекты можно следующим образом. Для стали в стабильном состоянии упрочняющее влияние на исходную матричную фазу – аустенит оказывает дробление кристаллитов  $d$  с ростом  $\varepsilon^1$ , что приводит к повышению уровня изменения микротвердости  $(H_\mu)_A - \varepsilon$  во всем интервале значений  $\varepsilon$ . Для стали в метастабильном состоянии с ростом  $\varepsilon^1$  от 0 до 15% активизация процесса образования мартенсита деформации сопровождается снижением его прочности, что подтверждается понижением уровня кривых изменения микротвердости мартенсита  $(H_\mu)_M - \varepsilon$ , которое особенно интенсивно при  $\varepsilon = 15\dots25\%$ . Обусловлено это обеднением его карбидообразующими легирующими элементами в процессе бездиффузационного мартенситного превращения. Увеличение  $\varepsilon^1$  приводит к росту плотности структурных дефектов в аустените, что интенсифицирует процесс выделения частиц карбидной фазы  $(Cr, Fe)_{23}C_6$  при высокотемпературном старении, и изменяет химсостав аустенита в направлении снижения Ni<sub>ЭКВ</sub> и активизации процесса образования мартенсита деформации – подобно рассмотренному

выше случаю уменьшения  $\text{Ni}_{\text{ЭКВ}}$  исследуемых сталей при направленном легировании (рис. 2,*a*, 3,*a*).

Установлены линейные связи параметров  $K$  (1) и  $C$  (6) соответственно с функцией размера аустенитных кристаллитов  $d^{-1/2}$ , повышающей уровень деформационного упрочнения стали по мере роста  $\varepsilon^1$  (на рис. 3,*b* штриховая линия), и микротвердостью мартенсита деформации  $(H_\mu)_M$ , уменьшающейся с ростом  $\varepsilon^1$  (сплошная линия). При построении зависимости  $C - (H_\mu)_M$  оценку  $(H_\mu)_M$  проводили для  $\varepsilon = 20\%$ .

**2.1.4. Особенности влияния вида напряженного состояния на деформационное упрочнение аустенитной стали** изучали на примере стали 12Х18Н10Т. Исследования проводили на тонкостенных трубчатых образцах в условиях пропорционального нагружения осевой силой и внутренним давлением при температурах  $20$  ( $T \approx M_{\text{д}}$ ) и  $-160^\circ\text{C}$  ( $T < M_{\text{д}}$ ).

Характер деформационного упрочнения стали со стабильной и метастабильной структурой аустенита исследовали по обобщенным диаграммам деформирования в координатах интенсивность истинных напряжений  $\sigma_i$  – интенсивность истинных деформаций  $\varepsilon_i$ , а также по величине максимальной равномерной интенсивности пластических деформаций  $\bar{\varepsilon}_i$  ( $\bar{\varepsilon}_i = (\sqrt{2}/3)[(\bar{\varepsilon}_z - \bar{\varepsilon}_\theta)^2 + + (\bar{\varepsilon}_\theta - \bar{\varepsilon}_r)^2 + (\bar{\varepsilon}_r - \bar{\varepsilon}_z)^2]^{1/2}$ ) и соответствующих продольной  $\bar{\varepsilon}_z$ , поперечной  $\bar{\varepsilon}_\theta$  и радиальной  $\bar{\varepsilon}_r$  компонент при различных значениях  $\sigma_z/\sigma_\theta$ .

Отличительная особенность механического поведения данной стали – инвариантность к виду напряженного состояния обобщенных диаграмм деформирования  $\sigma_i(\varepsilon_i)$  при температуре, соответствующей деформационно стабильному состоянию аустенита, и невыполнимость гипотезы о единой кривой деформирования при температуре проявления метастабильности аустенита (рис. 2,*c*). При этом для метастабильного аустенита уровень изменения интенсивности напряжений течения  $\sigma_i(\varepsilon_i)$  при двухосном растяжении выше, чем при одноосном, и достигает максимального значения при равноосном растяжении.

Для стали с деформационно стабильной и метастабильной структурой экспериментально подтверждена выполнимость соотношений (2), (3) и (5) – (8), справедливых для одноосного растяжения аустенитных сталей при условии подстановки в соответствующие формулы показателей интенсивности истинных напряжений и деформаций ( $\sigma_{it}, \sigma_i(\varepsilon_i), \sigma_{iA}, \sigma_{iM}, f_M(\varepsilon_i)$ ) [2–4].

При этом параметры  $K$  и  $N$  выражения (5) определяли путем аппроксимации функцией  $K(\varepsilon_i)^N$  начального участка кривой  $\sigma_i(\varepsilon_i)$  при  $T = -160^\circ\text{C}$ , для которого выполняется линейная зависимость  $\lg[\sigma_i(\varepsilon_i) - \sigma_{it}] - \lg \varepsilon_i$ .

Численные значения параметров выражения (8) для рассмотренных соотношений главных напряжений  $\sigma_z/\sigma_\theta$  представлены на рис. 3,*c*. Видно, что при переходе от линейного напряженного состояния к плоскому увеличиваются коэффициенты деформационного упрочнения  $K$  и  $C$ , характеризующие соответственно прочность аустенита и мартенсита деформации, и уменьшается параметр  $m$  вследствие ослабления интенсивности образования мартенсита деформации  $f_M - \varepsilon_i$  (рис. 2,*c*).

Выявленные особенности механического поведения исследуемой стали при двухосном растяжении обусловлены спецификой влияния вида напряженного состояния на структурные параметры деформационно стабильного аустенита и наследованием предмарテンситной структуры аустенита мартенситом деформации в условиях деформационной нестабильности стали.

Ранее [2, 9] было показано, что при двухосном растяжении деформационно стабильной стали по сравнению с одноосным активизация процесса повышения плотности структурных дефектов в аустените и одновременное уменьшение величины максимальной равномерной интенсивности пластических деформаций  $\bar{\varepsilon}_i$  происходят таким образом, что соответствующее  $\bar{\varepsilon}_i$  значение структурного параметра материала  $\beta_A(\bar{\varepsilon}_i)$  становится инвариантным к виду напряженного состояния (рис. 2,б). При этом темп достижения  $\beta_A(\bar{\varepsilon}_i)$  при двухосном растяжении по сравнению с одноосным увеличивается (рис. 2,б), что можно объяснить экспериментально установленным возрастающим вкладом в интенсивность пластических деформаций  $\varepsilon_i = \varepsilon_i(\varepsilon_z, \varepsilon_\theta, \varepsilon_r)$  радиальной сжимающей компоненты  $|\varepsilon_r|$ , максимальное значение которой при фиксированном  $\varepsilon_i$  получено при  $\sigma_z/\sigma_\theta = 1$ . Рост компоненты  $|\varepsilon_r|$  вызывает характерную для процесса сжатия ГЦК-металлов последовательную переориентацию всех систем скольжения в кристаллографическом направлении [110]. Причиной такой переориентации является повышение плотности винтовых дислокаций, способствующих развитию поперечного скольжения [16]. Ее проявление для аустенитной стали подтверждается усилением и совершенствованием при двухосном растяжении аксиальной текстуры сжатия [110], а также соответствующим изменением идеальных ориентировок ограниченной текстуры из-за разворота аустенитных кристаллитов в направлении совмещения кристаллографической оси [110] с компонентой  $\varepsilon_r$  [9].

Однотипный характер влияния  $\sigma_z/\sigma_\theta$  на ход кривых  $\beta_A(\varepsilon_i)$  и  $|\varepsilon_r(\varepsilon_i)|$ , а также согласованная независимость предельных значений структурной  $\beta_A(\bar{\varepsilon}_i)$  и механической  $|\varepsilon_r(\bar{\varepsilon}_i)|$  характеристик от  $\sigma_z/\sigma_\theta$  [9], позволяют заключить, что активизируемый радиальной сжимающей компонентой при двухосном растяжении процесс поперечного скольжения дислокаций обуславливает наблюдаемое ускорение темпа роста плотности структурных дефектов и, как следствие, формирование при меньших значениях  $\varepsilon_i$  структурного состояния материала, соответствующего максимальной равномерной интенсивности пластических деформаций  $\bar{\varepsilon}_i$ . Последнее является причиной снижения указанной характеристики пластичности и показателя деформационного упрочнения  $N$  (2) стали в стабильном состоянии при переходе от одноосного растяжения к двухосному, что практически нивелирует чувствительность обобщенных диаграмм деформирования  $\sigma_i(\varepsilon_i)$  к виду напряженного состояния (рис. 2,б).

Для стали в метастабильном состоянии степень стимулирования бездиффузационного мартенситного превращения и морфология формирующегося мартенсита деформации в зависимости от вида напряженного состояния определяют влияние последнего на ход кривых  $\sigma_i - \varepsilon_i$ .

На рис. 4,а–в показана эволюция исходной структуры нормализованных сталей 12Х18Н10Т (а, в) и X16Н6 (б) после термообработки и пластического деформирования. Рис. 4,а соответствует фрагменту аустенитного зерна с еди-

ничными дислокациями при  $\varepsilon_i = 0$  и  $f_M = 0$ , плотность которых составляет  $10^8 \text{ см}^{-2}$ . Рис. 4,б отражает усложнение дислокационной структуры аустенита при развитии мартенситного превращения в процессе охлаждения (количество мартенсита охлаждения  $f_M^0 = 45\%$ ), рис. 4,в – микроструктуру мартенсита деформации при  $T = -160^\circ\text{C}$ ,  $\varepsilon_i = 15\%$  и  $\sigma_z/\sigma_\theta = \infty$ . Присущая стабильному аустениту большая плотность структурных дефектов при двухосном растяжении по сравнению с одноосным сохраняется также для предmartенситного состояния аустенита метастабильной (при температуре  $-160^\circ\text{C}$ ) стали. Так, для фиксированного значения  $\varepsilon_i = 4\%$ , предшествующего интенсивному развитию мартенситного превращения, плотность дислокаций в аустените в условиях одноосного ( $\sigma_z/\sigma_\theta = \infty$ ) и равноосного ( $\sigma_z/\sigma_\theta = 1$ ) растяжения составляет соответственно  $9 \cdot 10^9$  и  $15 \cdot 10^9 \text{ см}^{-2}$ . Такое увеличение плотности дислокаций в аустените наследуется мартенситом деформации, что проявляется в повышении плотности дислокаций в его рейках, степени их дисперсности и разориентации и приводит к росту прочности.

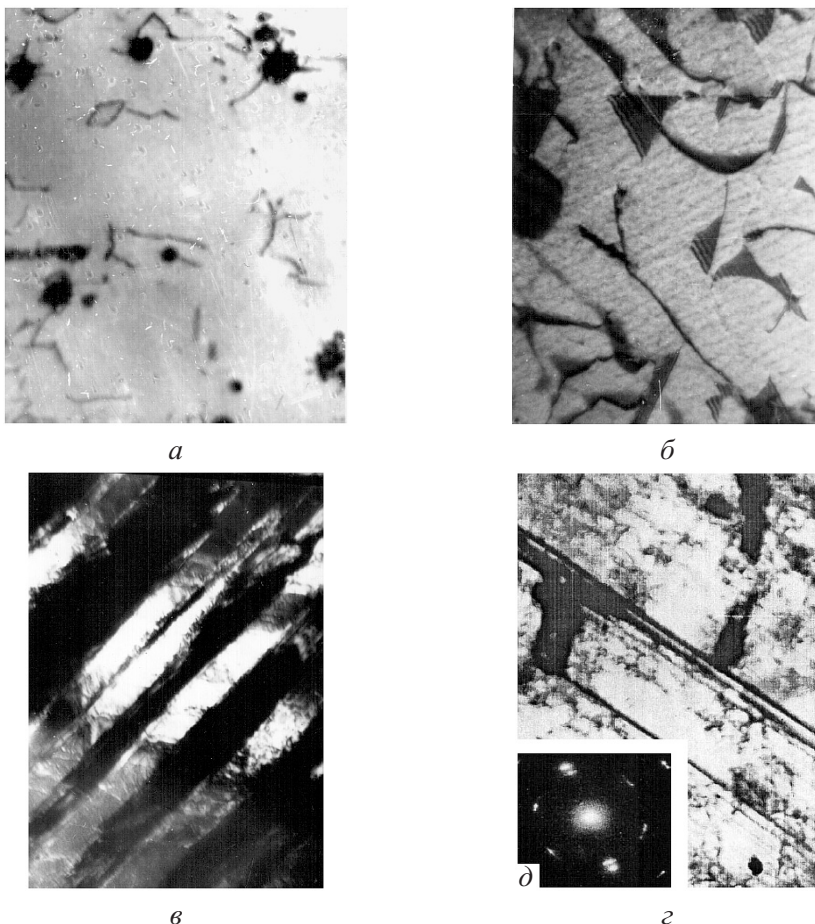


Рис. 4. Микроструктура (а–е) и микродифракция (д) сталей 12Х18Н10Т (а, в, е) и Х16Н6 (б) после термообработки (а, б), пластического деформирования образца без трещины (в) и в зоне предразрушения у вершины трещины нормального отрыва (е, д): а –  $\varepsilon_i = 0$ ,  $f_M = 0$ ; б –  $\varepsilon_i = 0$ ,  $f_M^0 = 45\%$ ; в –  $\sigma_z/\sigma_\theta = \infty$ ,  $\varepsilon_i = 15\%$ ;  $\times 20000$ .

Следствием указанного изменения структуры и свойств аустенита и мартенсита деформации при двухосном растяжении по сравнению с одноосным является повышение уровня изменения интенсивности напряжений течения  $\sigma_i(\varepsilon_i)$  метастабильной аустенитной стали (рис. 2,*в*), рост параметров  $K$  и  $C$ , несмотря на ослабление темпа развития мартенситного превращения, обусловливающее снижение параметра  $m$  (7), (8) – рис. 3,*в*.

**2.2. Структура пластической зоны и трещиностойкость стали при температурах подавления и развития процесса образования мартенсита деформации.** Для нормализованной стали 12Х18Н10Т с исходными значениями размера зерна  $d_0 = 30$  мкм и плотности дислокаций  $\rho_0 = 10^8$  см<sup>-2</sup> при статическом и малоциклическом растяжении образцов с трещиной нормального отрыва при температуре 20°C в пластической зоне в окрестности ее вершины наблюдается широкий спектр структур аустенита, последовательно изменяющихся по мере приближения к фронту трещины. Указанная последовательность включает полосы скольжения, дислокационные скопления, сетчатую структуру, клубковые сплетения, равноосные и вытянутые незамкнутые ячеистые дислокационные структуры, а также мартенсит деформации непосредственно у края трещины в виде длинных тонких прямых кристаллов, что подтверждается появлением его рефлексов на микродифракционных картинах (рис. 4,*г,д*). Градиент изменения этих структур соответствует характеру распределения деформаций в пластической зоне и детально описан ранее [5]. Подобная эволюция дислокационной структуры аустенита рассматриваемой стали наблюдалась с ростом величины пластической деформации на стадии деформационного упрочнения и предразрушения при одноосном растяжении образцов без трещин. При этом мартенсит деформации в зоне предразрушения не выявлен.

На рис. 5,*а* для случая малоциклического нагружения стали 12Х18Н10Т при температуре испытания 20 и 300°C приведены кривые изменения микротвердости  $H_\mu$ , физического уширения рентгеновских интерференций (311) аустенита  $\beta_A$  и количества мартенсита деформации  $f_M$  в зависимости от расстояния до края трещины (в направлении  $y$ , перпендикулярном направлению ее движения). Полученные кривые сопоставляли с зависимостями аналогичных параметров структуры от  $\varepsilon$  в условиях одноосного растяжения образцов без трещин при 20°C (рис. 5,*б*).

Основные различия сопоставляемых структур: для области предразрушения, распространяющейся при температуре испытания 20°C на расстояние до 0,2 мм, характерны двухфазная мартенситно-аустенитная структура с резким градиентом уменьшения количества мартенсита по мере удаления от края трещины, не имеющая аналога при одноосном растяжении образцов без трещин; существенное снижение уровня изменения кривых  $H_\mu - y$  и  $\beta_A - y$  в окрестности вершины трещины по сравнению с таковым при пластическом деформировании в условиях статического растяжения образцов без трещин.

Интенсификация фазового (martенситного) превращения может быть связана с концентрацией растягивающих напряжений в зоне предразрушения у вершины трещины [17] и сопутствующей деформационному наклепу деструкцией материала [5]. Указанные эффекты способствуют увеличению объема материала, а следовательно, и развитию мартенситного превращения, что

приводит к повышению температуры мартенситной точки  $M_d$ . Микропоры, образующиеся в пластической зоне при зарождении микротрещин, обусловливают также выявленную релаксацию микроискажений кристаллической решетки аустенита, что проявляется в уменьшении уровня изменения кривых  $\beta_A$  —  $y$  в пластической зоне как при температуре развития ( $T = 20^\circ\text{C} < M_d$ ), так и подавления ( $T = 300^\circ\text{C} > M_d$ ) мартенситного превращения в зоне предразрушения.

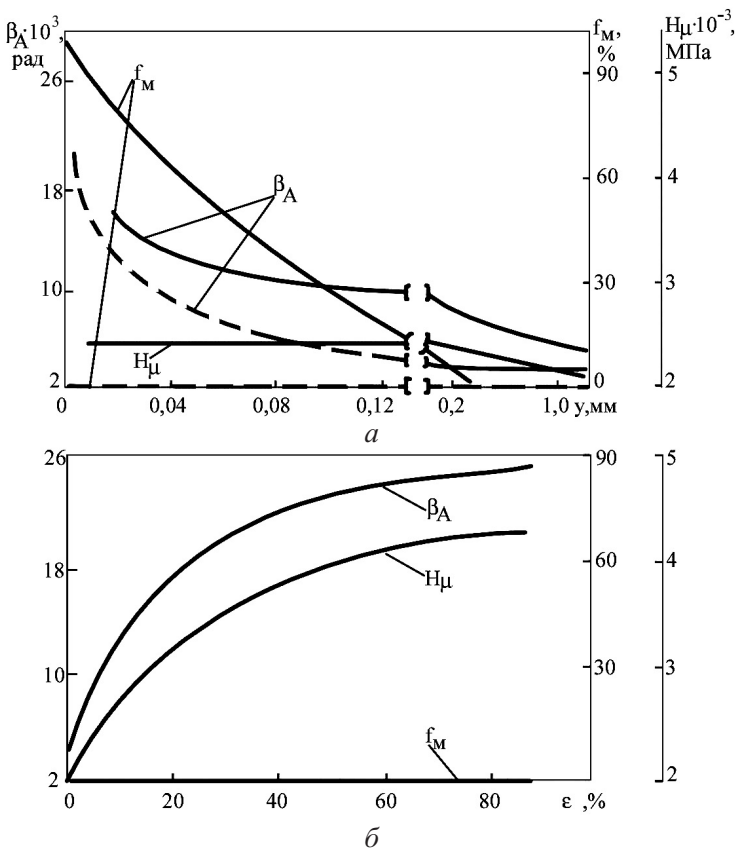


Рис. 5. Изменение структурных характеристик стали 12Х18Н10Т при температурах развития и подавления мартенситного превращения в окрестности вершины трещины при малоциклическом нагружении (а) и статическом растяжении образцов без трещин (б). а: сплошные линии –  $T = 20^\circ\text{C}$ , штриховые –  $T = 300^\circ\text{C}$ .

Роль мартенсита деформации в повышении показателей трещиностойкости рассматриваемой стали была выявлена на основе результатов сравнительного анализа процесса малоциклического нагружения при указанных температурах испытания, соответствующих развитию и подавлению мартенситного превращения у вершины трещины. В табл. 2 представлены соответствующие данные о влиянии фазового состава зоны предразрушения на число циклов до разрушения  $N_1$  и  $N_2$ , разрушающее напряжение  $S_k$  и критическую длину трещины  $l_c$ .

Объяснение наблюдаемого роста показателей трещиностойкости при температуре малоциклического нагружения  $20^\circ\text{C}$  проводится с позиций повышения

энергоемкости процесса разрушения за счет увеличения протяженности зоны интенсивных структурных изменений, упрочняющего воздействия формирующегося мартенсита деформации (рис. 5,*a*) и усиления активности элементов структуры – фазовой перекристаллизации, подвижности дислокаций, их закономерного перераспределения, коагуляции и повышения плотности микропор.

Таблица 2

**Показатели трещиностойкости и фазовый состав зоны предразрушения у вершины трещины стали 12Х18Н10Т в зависимости от температуры малоциклического нагружения**

Фазовый состав зоны предразрушения	$T, ^\circ\text{C}$	$N_1$ , цикл	$N_2$ , цикл	$S_k$ , МПа	$l_c$ , мм
Мартенсит + аустенит	20	3350	1960	1220	7,9
Аустенит	300	1950	780	700	5,3

В рамках предложенного подхода [5] и при его дальнейшем развитии исследована анизотропия трещиностойкости при статическом нагружении ряда стареющих сплавов со структурной и кристаллографической текстурой профилей [18]. Вопросы анизотропии трещиностойкости при циклическом нагружении пластически деформированных металлов рассмотрены в работе [19].

**Заключение.** Обобщены результаты исследования влияния структуры на закономерности деформационного упрочнения аустенитных сталей при температурах подавления и развития мартенситного превращения с учетом их химсостава и термомеханических условий нагружения.

Показано, что при температурах подавления мартенситного превращения рост величины  $\text{Ni}_{\text{экв}}$ , предварительной деформации, предшествующей высоко-температурному старению, а также переход от линейного к плоскому напряженному состоянию активизируют дробление аустенитных кристаллитов, увеличение плотности структурных дефектов и микротвердости, что приводит к повышению уровня деформационного упрочнения стали в условиях линейного напряженного состояния, инвариантности напряжений течения к виду напряженного состояния и снижению пластичности материала при двухосном растяжении.

При температурах проявления метастабильности аустенита уровень изменения напряжений течения рассматриваемых сталей определяется структурой и химсоставом деформационно стабильного аустенита, а также особенностями их наследования мартенситом деформации при бездиффузионном фазовом превращении, что обуславливает как деформационное упрочнение, так и разупрочнение стали при линейном напряженном состоянии и повышение уровня изменения напряжений течения при двухосном нагружении.

Установлены корреляционные связи структурных характеристик материала с параметрами аналитических выражений диаграмм деформирования, отражающие условия согласующегося либо конкурирующего влияния прочности аустенита, интенсивности процесса образования мартенсита деформации, его количества и прочности на сопротивляемость стали пластическому деформированию.

Структурно обоснованы повышение температуры начала образования мартенсита деформации и релаксация микроискажений кристаллической решетки аустенита в пластической зоне при статическом и малоциклическом нагружении образцов с трещиной нормального отрыва по сравнению с механически бездефектным материалом. Выявлено определяющее влияние мартенсита деформации и размера зоны предразрушения у вершины трещины на повышение показателей трещиностойкости материала при малоциклическом нагружении.

## **Резюме**

Узагальнено результати дослідження впливу структури на закономірності зміни напружень течії та тріщиностійкості ряду аустенітних сталей при температурах стримання і розвитку мартенситного перетворення з урахуванням їх хімічного складу і способу навантаження. Установлено кореляційні зв'язки структурних характеристик сталей розглянутого класу з параметрами аналітичних виразів їх діаграм деформування щодо визначення умов конкуруючого впливу міцності аустеніту, інтенсивності процесу утворення мартенситу деформації, його кількості і міцності на деформаційне зміцнення матеріалу. Структурно обґрунтовано специфіку формування показників його тріщиностійкості.

1. Нижник С. Б., Дмитриева Е. А. Исследование моделей деформационного упрочнения конструкционных сталей при направленном уменьшении размера их структурных элементов // Пробл. прочности. – 2011. – № 4. – С. 136 – 146.
2. Нижник С. Б., Ковальчук Б. И., Истомина Э. С., Дмитриева Е. А. Структура и механические свойства аустенитной стали при низкотемпературном деформировании в условиях линейного и плоского напряженного состояния // Там же. – 1978. – № 1. – С. 81 – 86.
3. Ковальчук Б. И., Зайцева Л. В. К построению уравнений связи между напряжениями и деформациями метастабильных материалов с мартенситным превращением при пропорциональном нагружении // Там же. – 1999. – № 3. – С. 17 – 28.
4. Lebedev A. A. and Kosarchuk V. V. Influence of phase transformations on the mechanical properties of austenitic stainless steels // Int. J. Plasticity. – 2000. – 16. – Р. 749 – 767.
5. Каминский А. А., Нижник С. Б., Усикова Г. И. Взаимосвязь структуры пластической зоны у вершины трещины с исходной структурой и трещиностойкостью стали // Металлофизика и новейшие технологии. – 2001. – 23, № 11. – С. 1483 – 1499.
6. Нижник С. Б., Черняк Н. И. Диаграммы деформирования и структура нержавеющих сталей переходного класса // Пробл. прочности. – 1974. – № 4. – С. 70 – 73.
7. Каминский А. А., Бастун В. Н. Деформационное упрочнение и разрушение металлов при переменных процессах нагружения. – Киев: Наук. думка, 1985. – 167 с.

8. Бастун В. Н., Нижник С. Б., Островская В. П. и др. О влиянии структуры на сопротивление разрушению аустенитной стали при циклическом нагружении // Физ.-хим. механика материалов. – 1989. – № 2. – С. 53 – 57.
9. Нижник С. Б. Влияние структуры на деформационное упрочнение аустенитной и мартенситно-стареющей сталей при плоском напряженном состоянии // Металлы. – 1992. – № 1. – С. 152 – 158.
10. Nizhnik S. B. and Dmitrieva E. A. Predicting the strain hardening characteristics of ageing alloys under combined loading // Int. Appl. Mech. – 2007. – 43, No. 6. – P. 683 – 689.
11. Еремин Н. И., Журов А. П., Барац Н. К. Магнитно-металлографическое исследование мартенситного превращения в нержавеющих сталях в связи с охрупчиванием при холодной деформации // Дефектоскопия. – 1968. – № 6. – С. 15 – 21.
12. Фирстов С. А. Особенности деформации и разрушения микро- и нанокристаллических материалов // Прогресивні матеріали і технології / Під заг. ред. І. К. Походні. – Київ: Академперіодика НАН України, 2003. – Т. 2. – С. 610 – 630.
13. Нижник С. Б., Миклухин О. Г., Фортунатова Н. Н. Моделирование диаграмм деформирования метастабильных аустенитных сталей с учетом характера легирования // Пробл. прочности. – 1988. – № 11. – С. 9 – 14.
14. Spencer K., Embury J. D., Conlon K. T., et al. Strengthening via the formation of strain-induced martensite in stainless steels // Mater. Sci. Eng. A. – 2004. – 387-389, No. 1-2. – P. 873 – 881.
15. Rosen A., Tabo R., and Kfer T. Tensile properties of metastable stainless steels // J. Mater. Sci. – 1972. – 7, No. 8. – P. 870 – 876.
16. Вассерман Г., Гривен И. Текстура металлических материалов. – М.: Металлургия, 1969. – 654 с.
17. Блюменауэр Х., Зумхофф Б. Рентгенографическое определение распределения напряжений на образцах с усталостными трещинами // Пробл. прочности. – 1981. – № 3. – С. 18 – 20.
18. Kaminsky A. A. and Nizhnik S. B. Anisotropy of the fracture toughness of structurally inhomogeneous ageing alloys // Int. Appl. Mech. – 2009. – 45, No. 9. – P. 1016 – 1022.
19. Bastun V. N. On fracture toughness of orthotropic metallic materials under cyclic loading // Ibid. – No. 7. – P. 780 – 785.

Поступила 17. 11. 2010